

エネルギー分割法 Energy Decomposition Analysis (EDA)

$$BE = E_{\text{complex}} - E_{\text{isolated molecules}}$$

$$\begin{aligned} BE &= DEF + INT' && \text{経路 A} \\ &= INT + RLX && \text{経路 B} \end{aligned} \quad \left. \right\}$$

◎ モノマーの変形と相互作用が別々に起こる

BE : 安定化エネルギー

DEF : モノマーの変形に要するエネルギー (>0)

INT' : 変形モノマー間の相互作用エネルギー

INT : 非変形モノマー間の相互作用エネルギー

RLX : 構造緩和による安定化エネルギー (<0)

$$BE = DEF(s) + INT(s) \quad s : \text{反応座標}$$

経路 C

◎ 反応座標に沿って、モノマーの変形と相互作用が同時に起こる

<分子間相互作用の成分の分類>

INT, INT', INT(s)を区別しない

$$INT(INT', INT(s)) =$$

$$ES + EX + PL + CT + MIX + DISP$$

ES : 静電 (Coulomb) 相互作用 (引力)

EX : 交換相互作用 (反発)

PL : 分極相互作用 (引力)

極性分子と無極性分子間に働く力.

永久双極子と誘起双極子の間に働く
静電力.

CT : 電荷移動相互作用 (引力)

MIX : 以上の種々の相互作用成分間の
高次の交差項

DISP : 分散力 (引力)

無極性分子間に働く力. 一時双極
子と誘起双極子の間に働く静電力

<エネルギー成分をどのように求めるか>

- 分子 A と B は、既に変形してあるものとする。
- 孤立分子 A と B の波動関数をそれぞれ ψ_A^0, ψ_B^0 とし、エネルギーを $E_0 = E_A^0 + E_B^0$ とする。
- 錯体(AB)の波動関数は、 ψ_A^0, ψ_B^0 の積で表される。

$$\psi_1 = \psi_A^0 \cdot \psi_B^0, \quad E_I = E_0 + ES$$

$$\psi_2 = \psi_A \cdot \psi_B, \quad E_2 = E_I + PL$$

他分子の場によって変化（分極）
することを許した波動関数

$$\psi_3 = A(\psi_A^0 \cdot \psi_B^0), \quad E_3 = E_I + EX$$

A : 反対称化演算子

AB 間で電子の交換が許されることを示す

$$\psi_4 = \psi_{A \rightarrow B^*} \cdot \psi_{B \rightarrow A^*}, \quad E_4 = \underset{\substack{\text{電荷移動を許した波動関数} \\ \text{A} \rightarrow \text{B}^*, \text{B} \rightarrow \text{A}^*}}{E_I} + CT$$

\uparrow
 E_I に分子間交換積分の
寄与を加ええたもの

$$\psi_{4,A \rightarrow B} = \psi_{A \rightarrow B^*} \cdot \psi_A^0, \quad CT_{A \rightarrow B}$$

$A \rightarrow B^*$ のみ許す波動関数 $A \rightarrow B^*$ 電荷移動エネルギー

$$\psi_{4,B \rightarrow A} = \psi_{B \rightarrow A^*} \cdot \psi_B^0, \quad CT_{B \rightarrow A}$$

$B \rightarrow A^*$ のみ許す波動関数 $B \rightarrow A^*$ 電荷移動エネルギー

$$CT = CT_{A \rightarrow B} + CT_{B \rightarrow A} + CT_{MIX}$$

両方向の電荷移動が同時に
起こることによる補正項

$$\psi_5 = A(\psi_{AB}), \quad E_5 = E_0 + INT$$

全系の波動関数

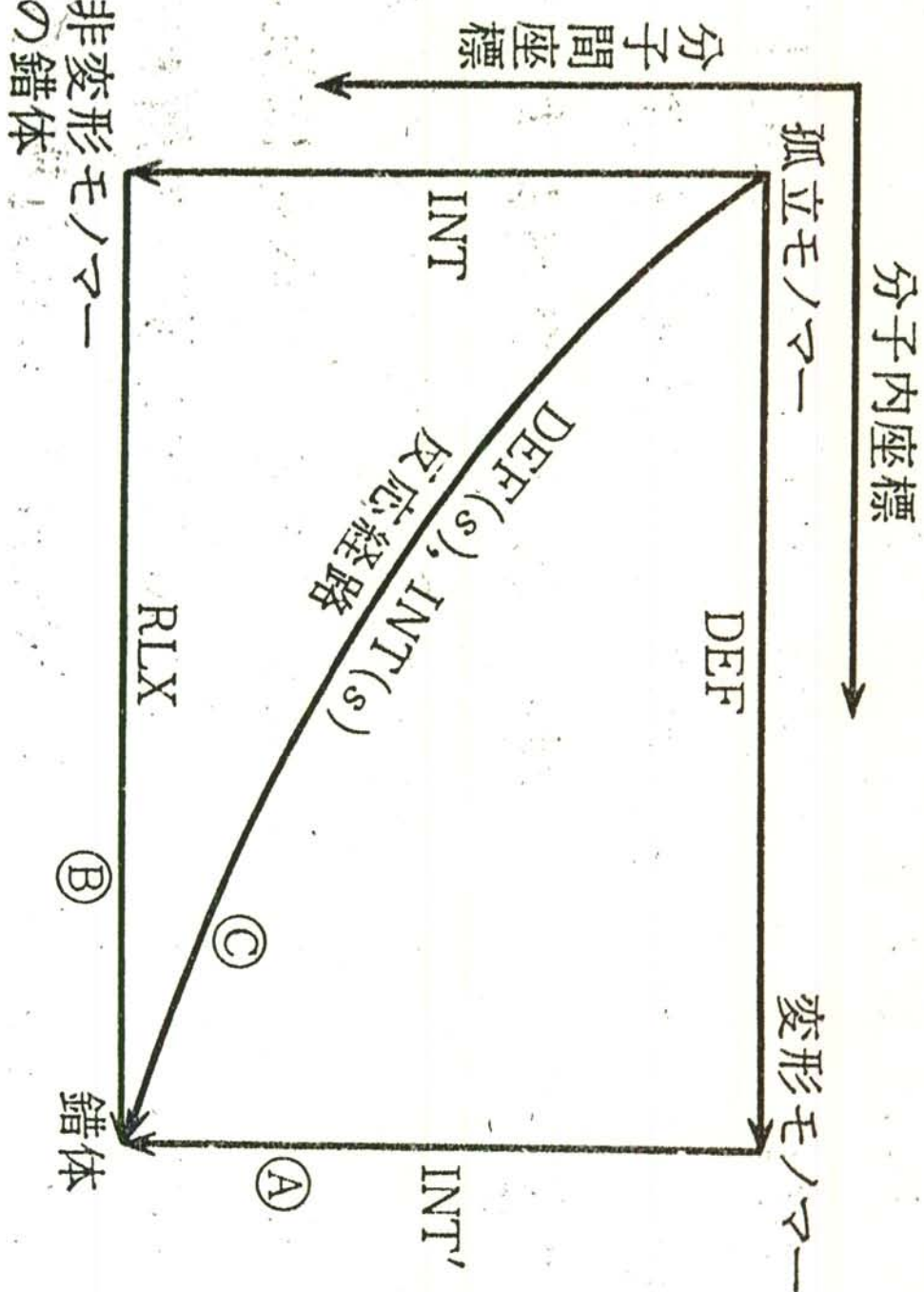


図 4.9 分子の変形を考慮したときの結合エネルギーの分割. (A), (B), (C)は3つの経路.

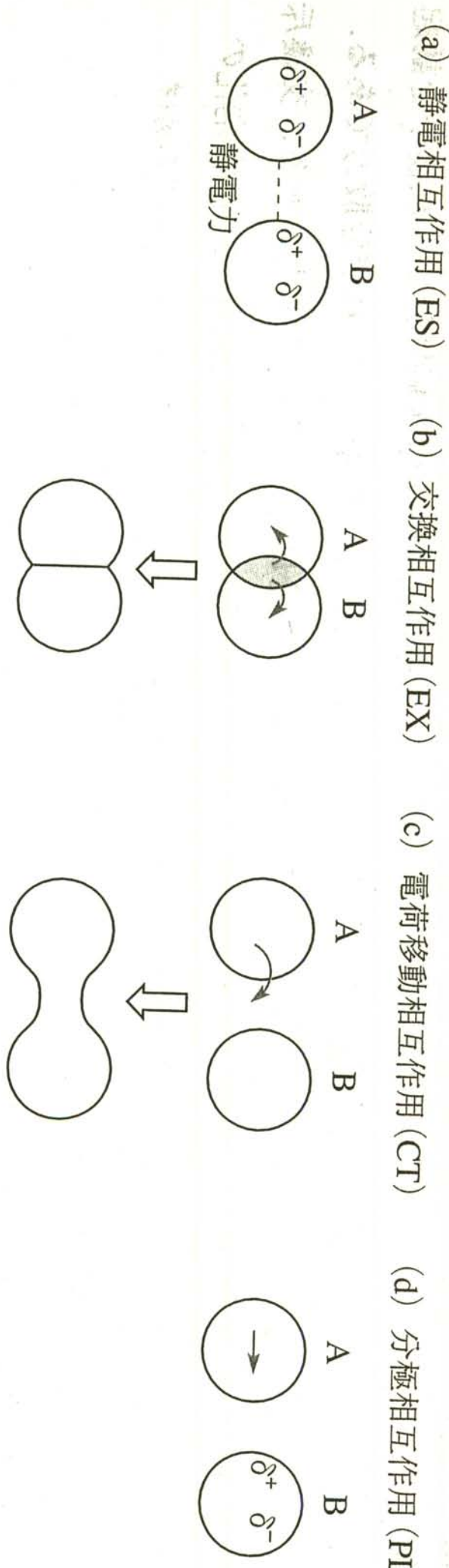


図 1・44 分子 A と B の間の相互作用成分. 矢印は電子の流れを表す.

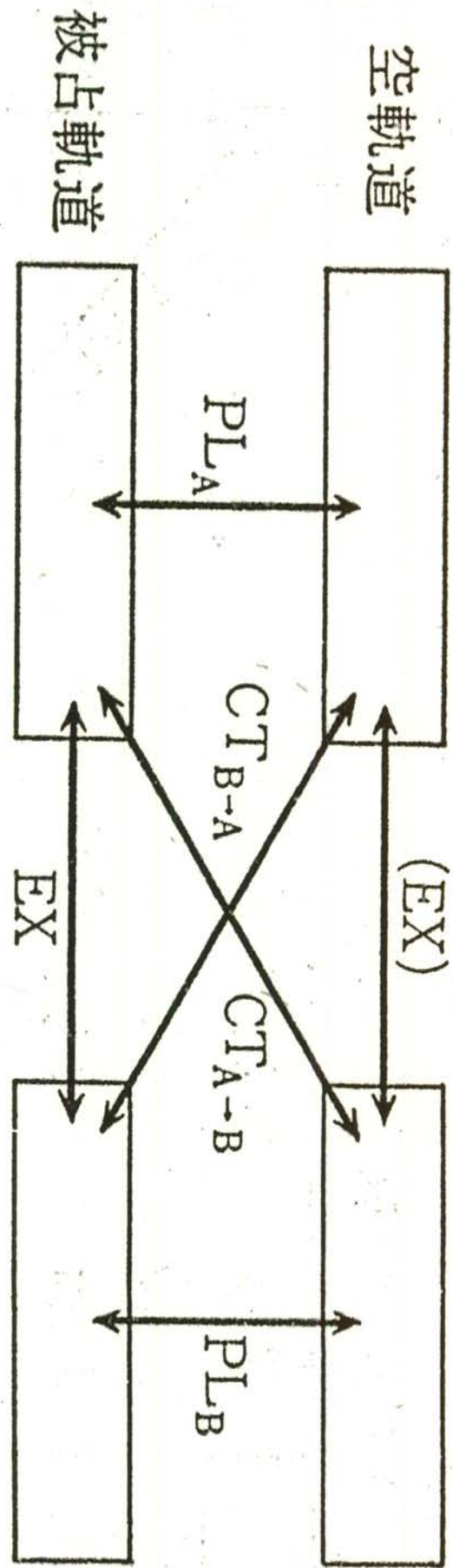


図 4.10 軌道相互作用とエネルギー成分

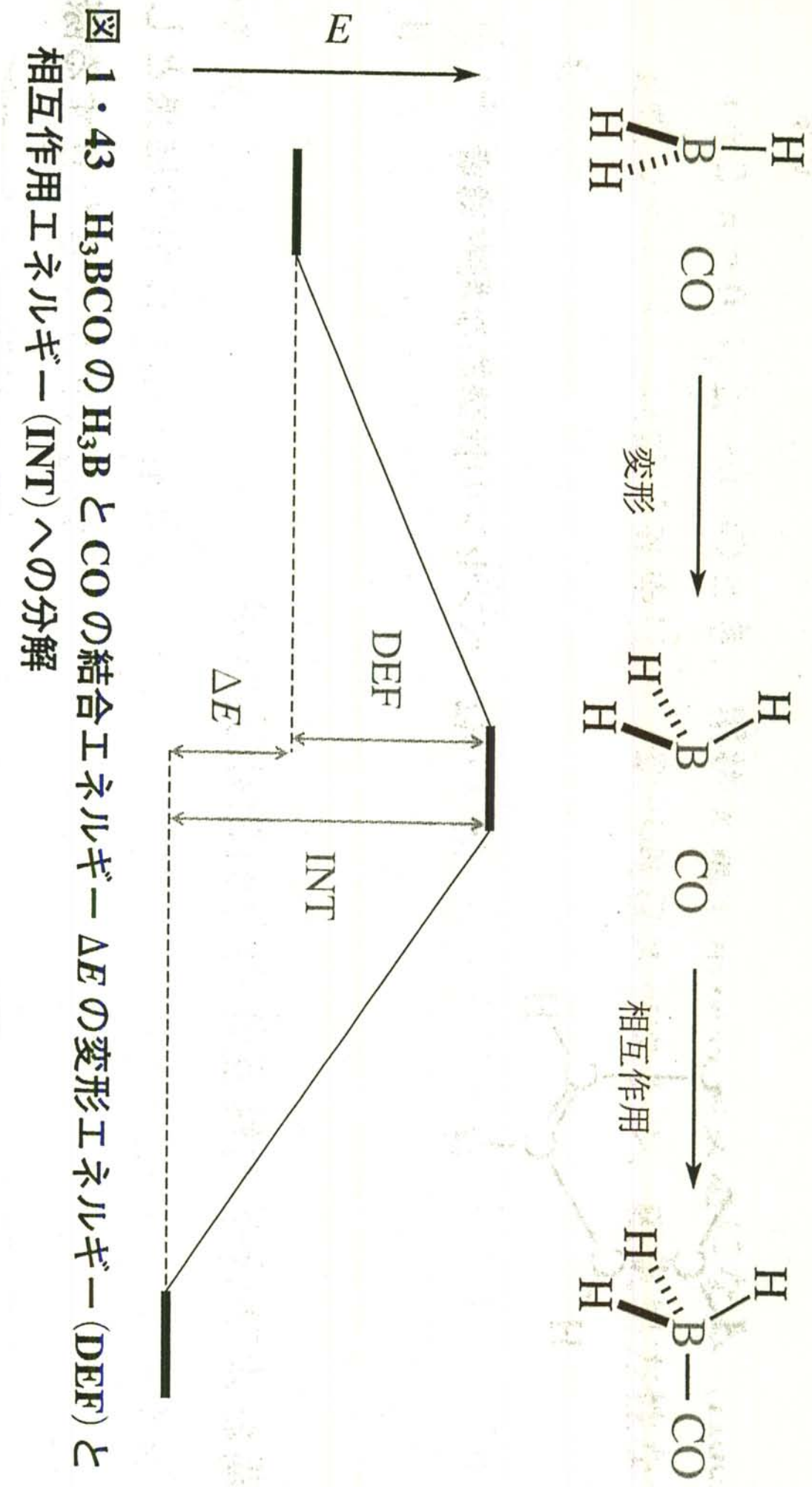


図 1・43 H_3BCO の H_3B と CO の結合エネルギー $- \Delta E$ の変形エネルギー (DEF) と
相互作用エネルギー (INT) への分解

$$INT = ES + EX + CT + PL + MIX + DISP$$

表 10-10 H₃B...CO 錯体の相互作用エネルギー

成分の距離依存性^{a)}

$R_{\text{B} \cdots \text{C}} (\text{\AA})$	1.57	1.77	2.30	3.00
ΔE_{SCF}	-27.9	-24.5	-11.3	-4.1
E_S	-70.0	-42.2	-10.4	-2.2
E_X	118.0	63.3	10.6	0.8
PL	-82.2	-33.0	-3.1	-0.3
CT	-89.5	-40.3	-9.5	-2.5
H ₃ B→CO	-26.5	-7.8		
H ₃ B→CO	-12.7	-1.5		
MIX	95.0	27.4	1.2	0.1

a) 4-31G 基底. kcal/mol.

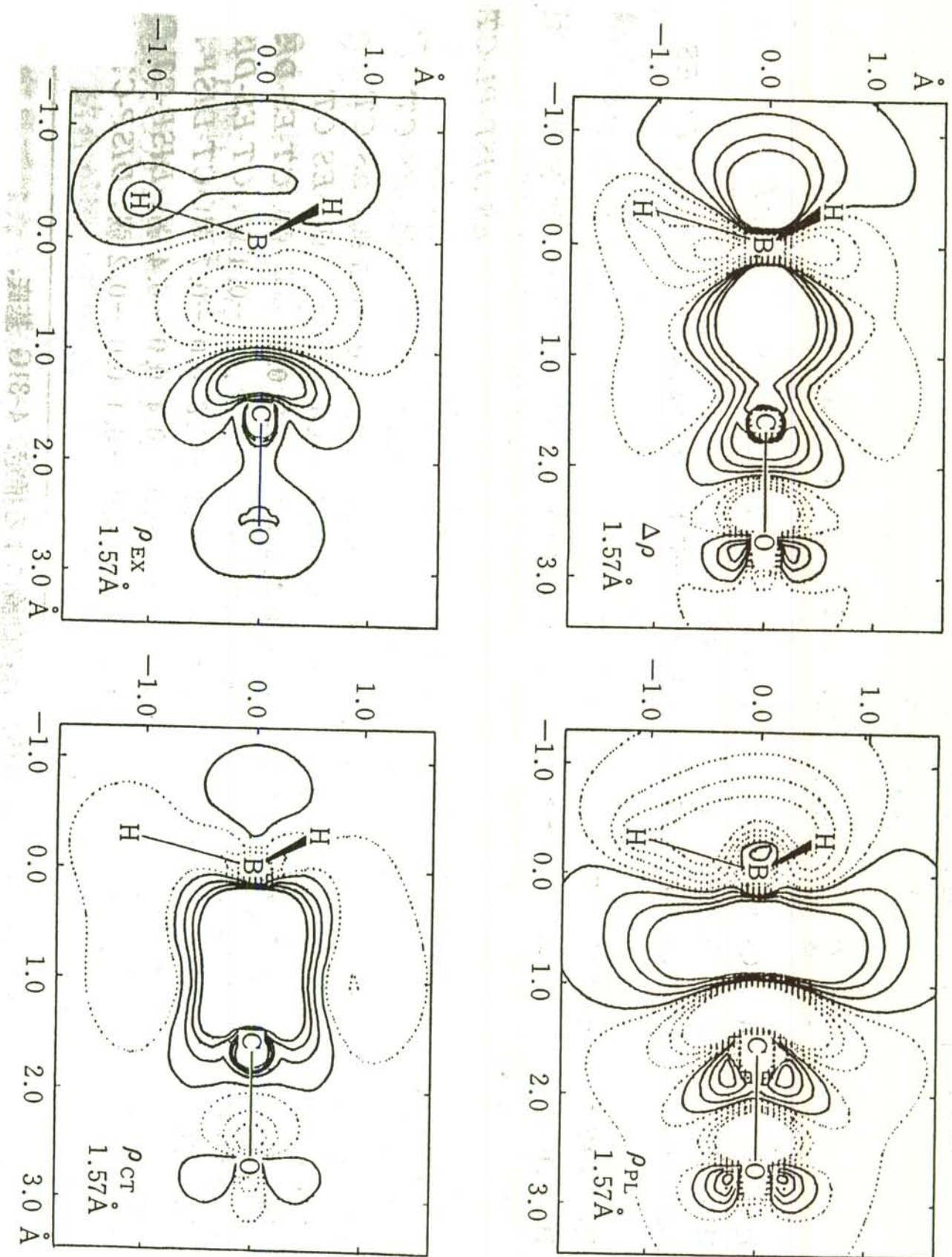
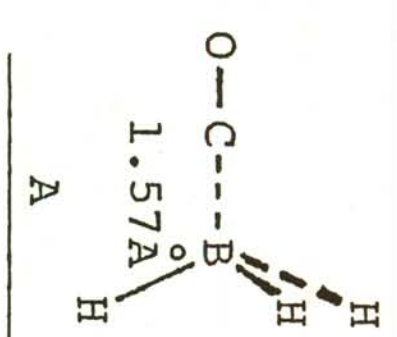
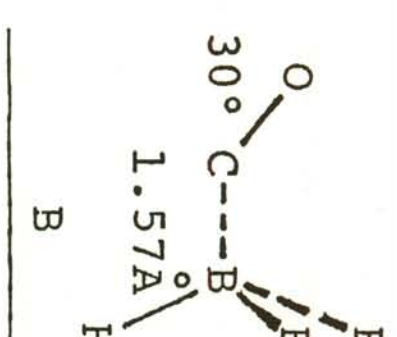
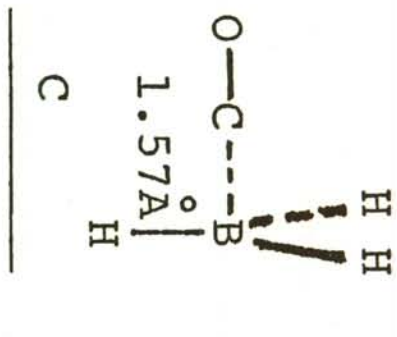
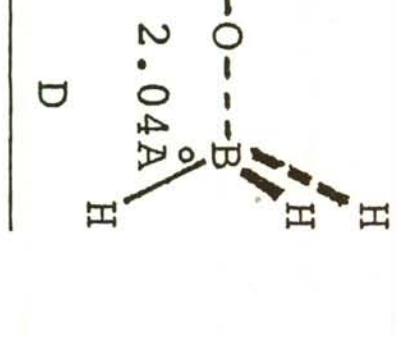


図 10-12 $\text{H}_3\text{B}\cdots\text{CO}$ の電荷分布変化の成分. 4-31G 基底.

11

Table 4. Various modes of approach in the OC-BH₃ complex^a

				
DEF	17.0	17.0	0	17.0
INT'	-27.9	-17.7	5.3	-7.8
ES	-70.0	-57.2	-88.4	-12.7
EX	118.8	115.3	180.5	12.0
CT	-89.5	-79.9	-146.9	-5.3
PL + MIX	12.8	4.0	60.1	-1.8

^aEnergy in kcal/mol.

表 10-11 電子供与体-受容体錯体の計算した平衡距離における相互作用
エネルギー成分と定性的分類

電子供与体 -受容体	タイ プ	R_e (Å)	$\Delta E_{\text{SCF}}^{\text{a)}$	ES	EX	PL	CT	MIX	DISP	分 類
H ₃ N-BF	n- σ^*	C _{3v} 1.60	-71.5 -142.3 136.3 -42.7 -52.7 29.9							強い、ES
H ₃ N-BH ₃	n- σ^*	C _{3v} 1.70	-44.7 -92.9 86.9 -17.2 -27.1 5.6							強い、ES
OC-BH ₃	$\sigma-\sigma^*$	C _{3v} 1.63	-28.5 -60.9 98.9 -61.8 -68.3 63.6							強い、CT-PL-ES
$\pi^*-\pi$										
H ₃ N-CIF	n- σ^*	C _{3v} 2.72	-8.2 -11.2 7.4 -1.1 -3.6 0.2							中程度のES
H ₂ O-OC(CN) ₂	n- π^*	C _s 2.70	-8.0 -9.7 4.4 -1.0 -1.8 ^{c)} -1.2							中程度のES
C ₆ H ₆ -OC(CN) ₂	$\pi-\pi^*$	C _s 3.6 ^{c)}	-4.2 -2.8 1.8 -1.7 -1.6 0.1 -2.6							中程度の
$ES\text{-}DISP\text{-}PL\text{-}CT$										
HF-CIF	n- σ^*	C _s 2.74	-3.6 -3.4 1.8 -0.2 -1.4 0.1							弱い、ES
H ₃ N-Cl ₂	n- σ^*	C _{3v} 2.93 ^{b)}	-2.9 -4.0 3.9 -0.8 -2.3 0.3							弱い、ES-CT
C ₆ H ₆ -CIF	$\pi-\sigma^*$	C _s 3.6	-1.8 -1.6 0.6 -0.1 -0.8 0.0 -0.5							弱い、ES-CT
H ₃ N-F ₂	n- σ^*	C _{3v} 3.00	-1.1 -0.8 0.6 -0.3 -0.6 0.0							弱い、ES-CT
H ₂ CO-F ₂	n- σ^*	C _s 2.91	-0.7 -0.4 0.3 -0.1 -0.5 0.0							弱い、CT-ES-DISP
C ₂ H ₄ -OCH ₂	$\pi-\pi^*$	C _s 3.75	-0.7 -0.5 0.4 -0.1 -0.5 ^{c)} -0.4							弱い、CT-ES-DISP
C ₆ H ₆ -Cl ₂	$\pi-\sigma^*$	C _s 3.6	-0.6 -0.5 0.7 -0.1 -0.8 0.0 -0.7							弱い、CT-DISP-ES
C ₆ H ₆ -F ₂	$\pi-\sigma^*$	C _s 3.3	-0.3 -0.2 0.3 -0.0 -0.4 0.0 -0.4							弱い、DISP-CT-ES
F ₂ -F ₂	n- σ^*	C _s 2.7	-0.2 -0.1 0.3 0.0 -0.4 0.0 -0.2							弱い、DISP-CT
		$\pi-\sigma^*$								

a) ΔE_{SCF} は DISP を含まない。DISP は摂動論による推定。4-31G 基底。

b) 最適化してない。 c) CT+MIX

表 1・2 水素結合系および電子供与体-受容体錯体の相互作用エネルギー成分^{†1, 2}

相互作用系	INT	ES	EX	CT	PL	MIX
水素結合						
H ₂ O-HOH	-32.6	-43.9	25.9	-10.0	-2.5	-2.1
H ₂ O-HF	-56.0	-79.0	43.9	-13.0	-6.7	-1.7
電子供与体-受容体錯体						
H ₃ B-CO	-119.1	-254.6	413.4	-285.5	-258.3	265.8
C ₆ H ₆ -OC(CN) ₂	-17.6	-11.7	7.5	-6.7	-7.1	0.4

†1 単位は kJ mol⁻¹.

†2 K. Morokuma, *Acc. Chem. Res.*, **10**, 294(1977) による.

表 10-8 CH_4 , NH_3 , H_2O , HF 間の水素結合錯体
のエネルギー成分(kcal/mol)^{a)}

プロトン受容体	プロトン供与体	$R_e, \text{\AA}$	$\theta, \text{度}$	ΔE_{SCF}	ES	EX	PL	CT	MIX
H_3N	HF	2.68	0	-16.3	-25.6	16.0	-2.0	-4.1	-0.7
H_2O	HF	2.62	6	-13.4	-18.9	10.5	-1.6	-3.1	-0.4
HF	HF	2.71	60	-7.6	-8.2	4.5	-0.4	-3.2	-0.3
H_3N	HOH	2.93	0 ^{b)}	-9.0	-14.0	9.0	-1.1	-2.4	-0.4
H_2O	HOH	2.88	60 ^{b)}	-7.8	-10.5	6.2	-0.6	-2.4	-0.5
H_3N	HNH_2	3.30	0 ^{b)}	-4.1	-5.7	3.6	-0.6	-1.3	-0.2
H_2O	HNH_2	3.22	60 ^{b)}	-4.1	-4.6	2.5	-0.3	-1.5	-0.2
H_3N	HCH_3	4.02	0 ^{b)}	-1.1	-0.6	0.5	-0.3	-0.7	-0.0
H_2O	HCH_3	3.80	60 ^{b)}	-1.1	-0.5	0.5	-0.1	-0.9	-0.0

a) X...H-Y 結合が直線状である錯体を仮定。 R_e は X...Y 距離を最適化したもの。 θ は X...H-Y

とプロトン受容体の分子軸のなす角。4-31G 基底。

b) 仮定した角。

表 10-5 $(\text{H}_2\text{O})_2$ のエネルギー分割^{a)}

基底	STO-3G	4-31G	6-31G**	補正後
ΔE_{SCF}	-5.1	-7.7	-5.6	-4.4
ES	-4.2	-8.9	-7.5	-6.3
EX	4.0	4.2	4.3	4.3
PL	-0.1	-0.5	-0.5	-0.5
CT	-4.8	-2.1	-1.8	-1.8
$CT_{\text{PA} \rightarrow \text{PD}}$	-4.8	-2.0	-1.7	
$CT_{\text{PD} \rightarrow \text{PA}}$	-0.01	-0.15	-0.15	
CT_σ	-2.1	-1.8		
CT_π	-0.03	-0.04		
MIX	0.1	-0.3	-0.1	-0.1

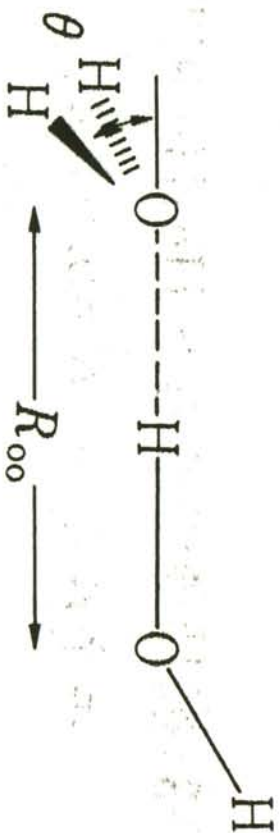
a) kcal/mol 単位. 図 10-5 で $R=2.98\text{\AA}$, $\theta=60^\circ$.

図 10-5

表 10-6 $(\text{H}_2\text{O})_2$ の 3 種の構造に対する相互作用
エネルギー成分(kcal/mol)^{a)}

	linear	bifurcated	cyclic
$R(\text{O}\cdots\text{O}), \text{\AA}$	2.88	2.90	2.85
ΔE_{SCF}	-7.8	-6.4	-6.1
ES	-10.5	-7.4	-7.4
EX	6.2	2.3	4.7
PL	-0.6	-0.3	-0.3
CT	-2.4	-1.0	-2.3
MIX	-0.5	-0.1	-0.3

a) 4-31G 基底. 諸熊, *Acc. Chem. Res.*, 10, 294 (1977)による.

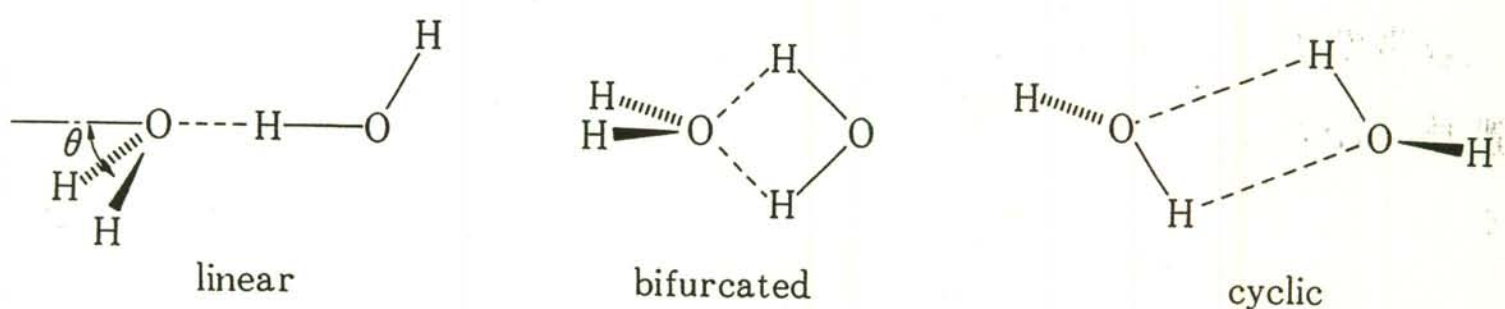


図 10-8 $(\text{H}_2\text{O})_2$ の 3 種の可能な構造

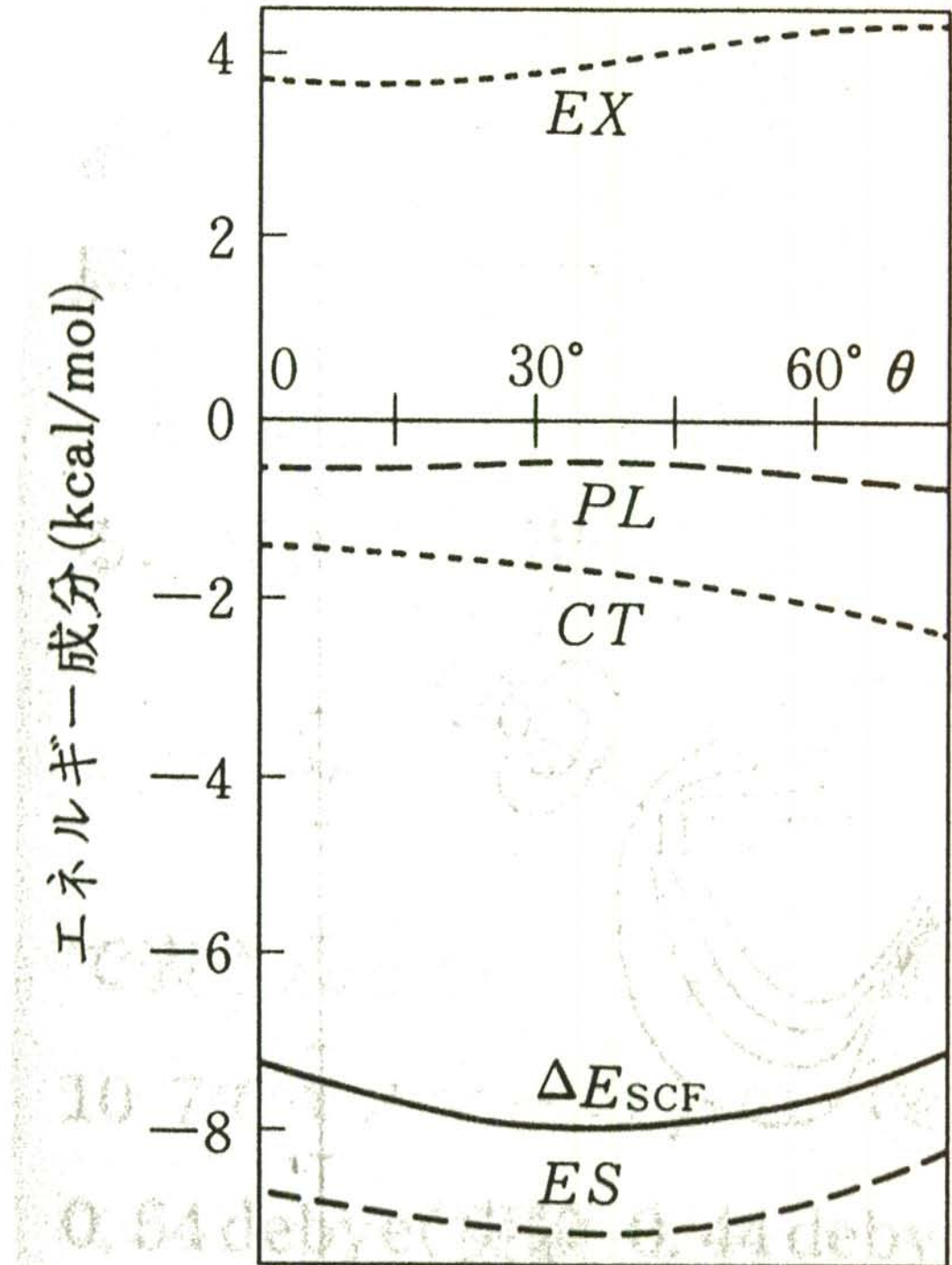


図 10-9 $(\text{H}_2\text{O})_2$ linear 模型における ΔE_{SCF} とその成分の角度 θ 依存型, 4-31 G 基底

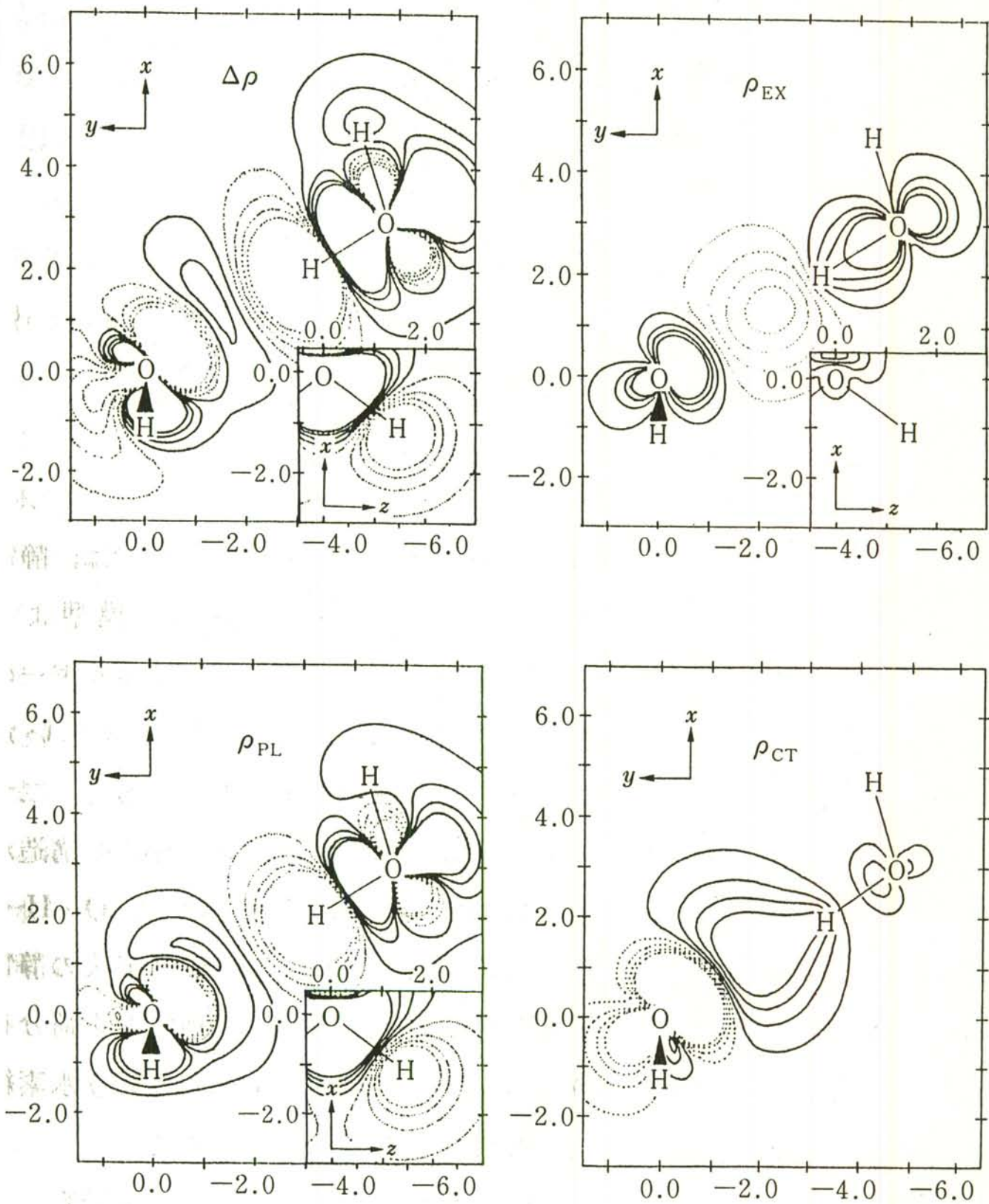
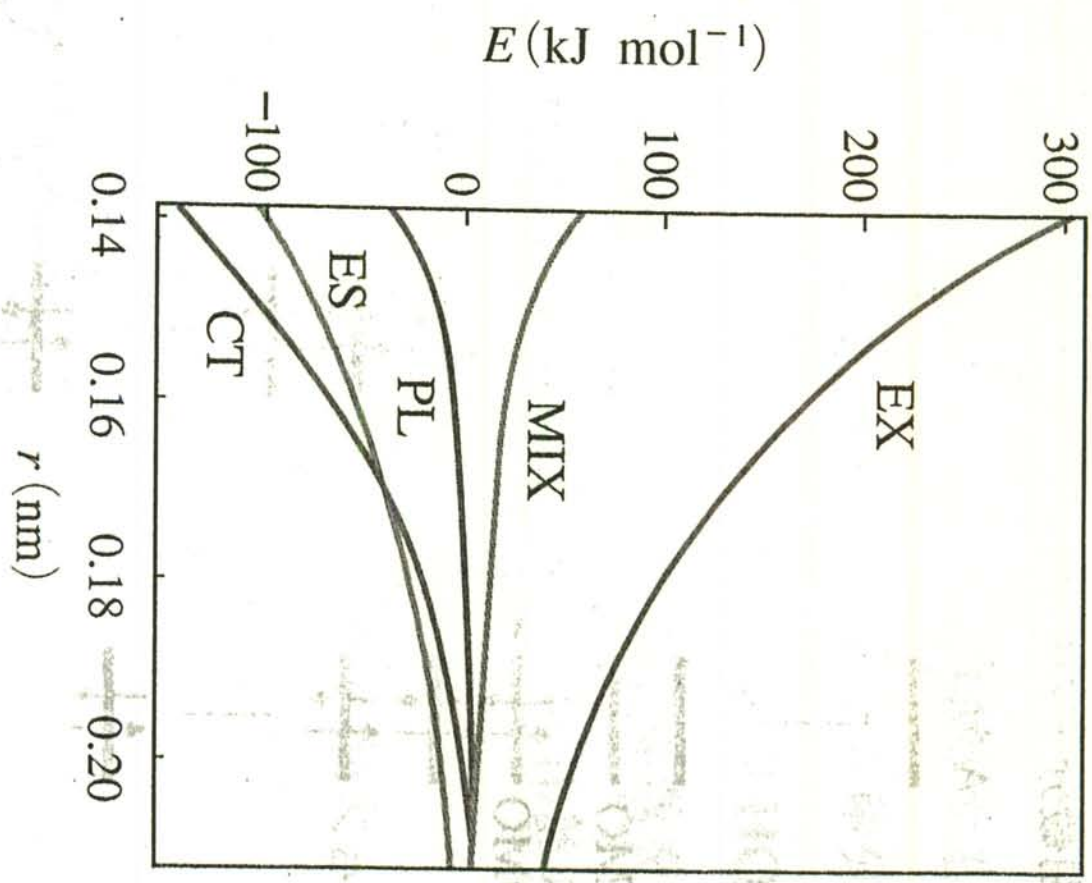
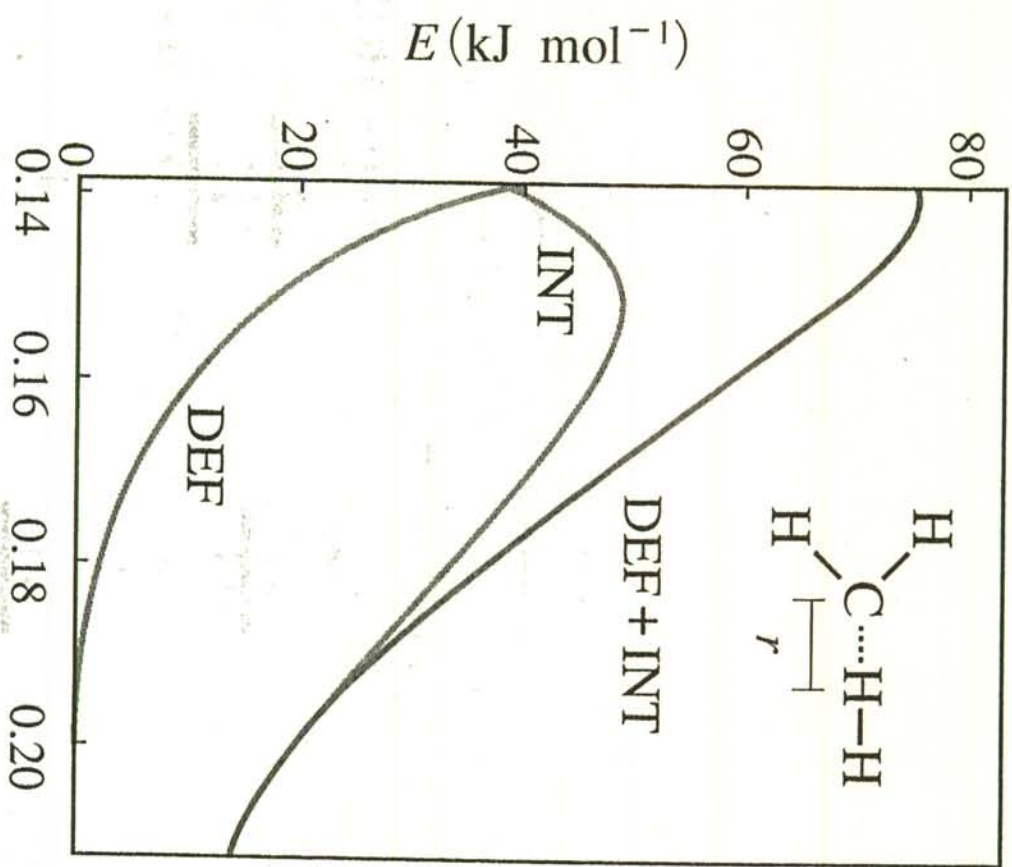


図 10-10 $(\text{H}_2\text{O})_2$ の電荷分布の変化とその成分. 4-31G 基底.

表 10-7 $(\text{H}_2\text{O})_2$ の双極子能率^{a)}

	<i>x</i> 成分	<i>y</i> 成分	絶対値	実験
モノマーの和	1.69	-2.44	2.96	2.11
$\Delta\mu$				(0.44)
μ_{EX}	0.36	-0.40	0.54	
μ_{PL}	0.02	-0.02	0.03	
μ_{CT}	0.20	-0.17	0.26	
$(\text{H}_2\text{O})_2$	0.15	-0.21	0.26	
	2.05	-2.84	3.50	2.60

a) 線型模型。*x* 方向はプロトン受容体の HOH 角の二等分線方向, *y* は $(\text{H}_2\text{O})_2$ 分子面内で *x* に直交。単位 debye. 4-31G 基底。



5・9 反応 CH_2 (三重項) + $\text{H}_2 \longrightarrow \text{CH}_3 + \text{H}$ の反応の原系から遷移状態に至るまでの成分エネルギーの変化²⁾

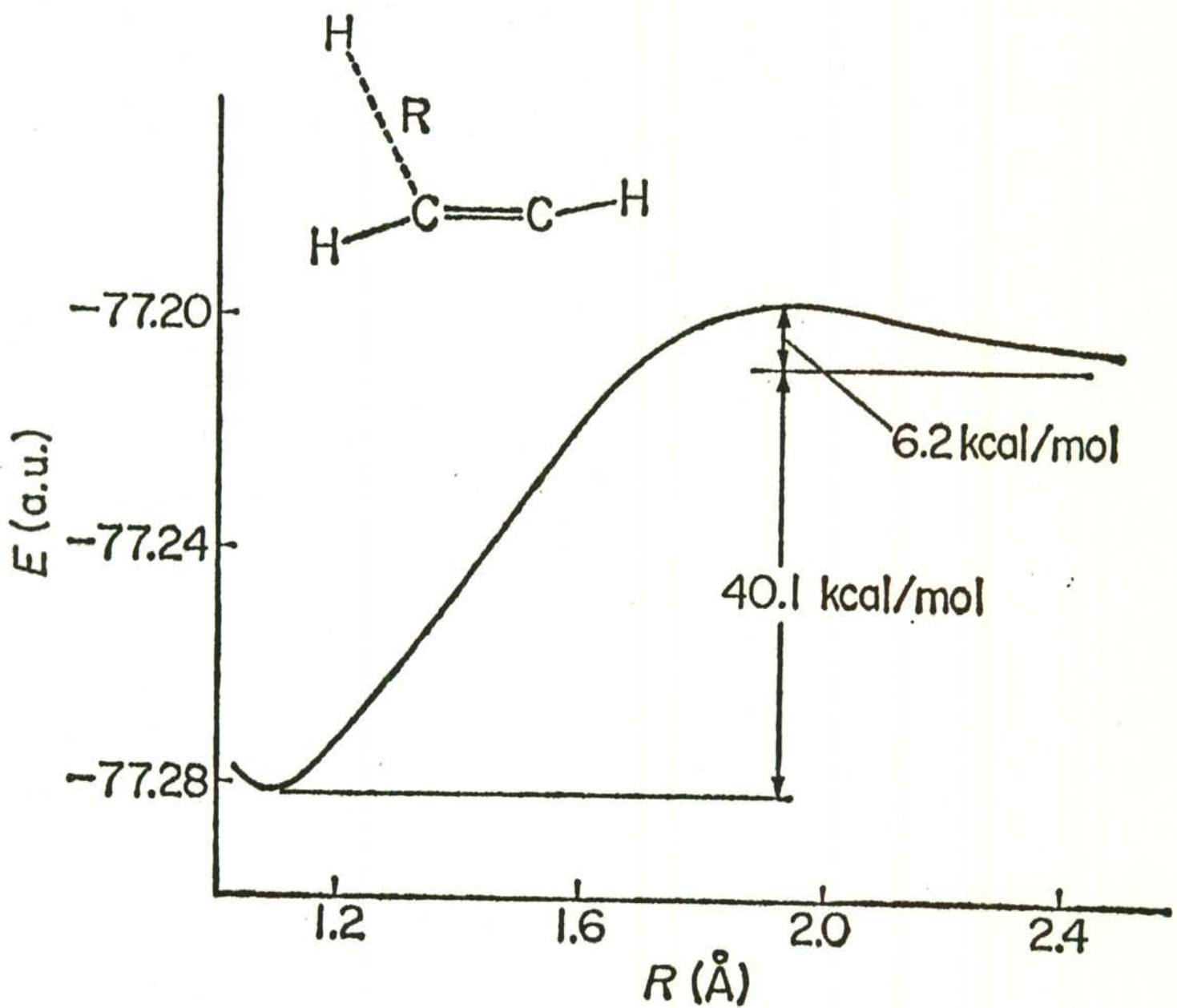


図 13 付加反応 $\text{CH}\equiv\text{CH} + \text{H} \rightarrow \text{CH}_2-\cdot\text{CH}$
のポテンシャルエネルギー側面図¹⁴⁾

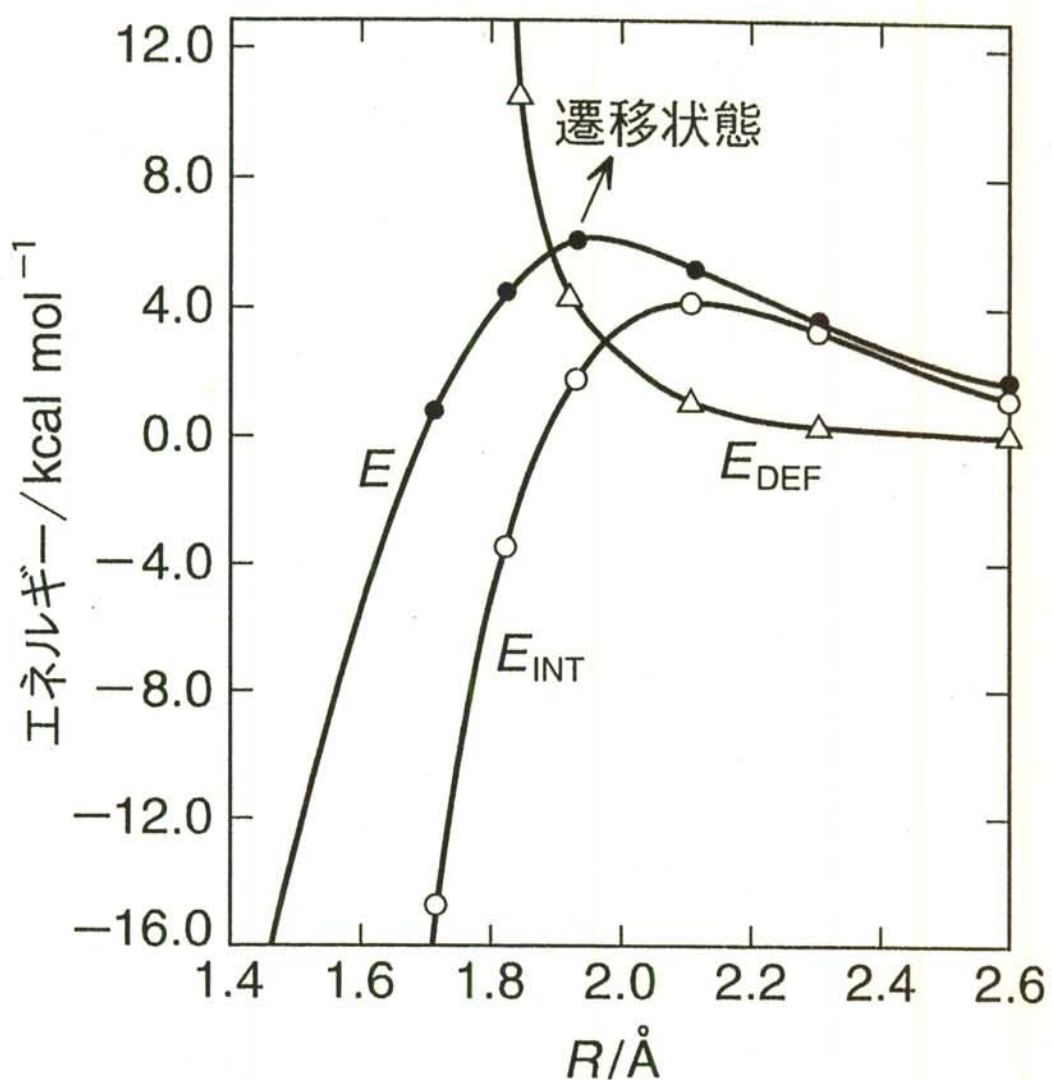


図 3.26 $\text{H} + \text{C}_2\text{H}_2$ 反応の経路沿いのエネルギー成分の変化

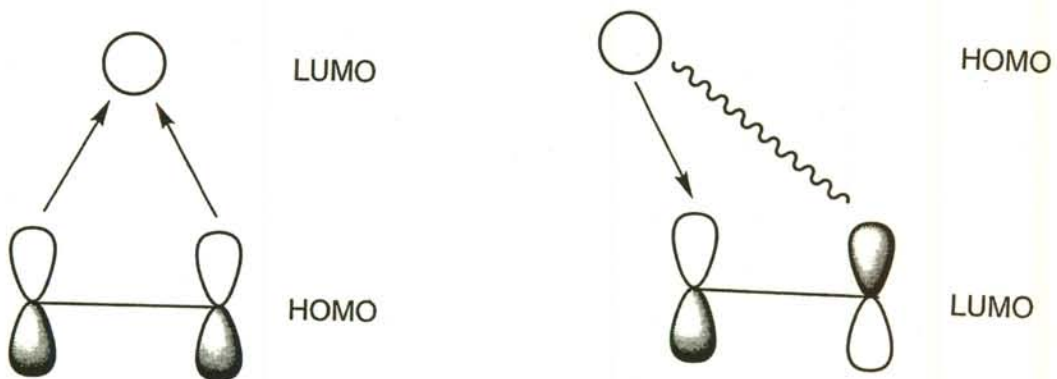


表 3.1 $\text{H} + \text{C}_2\text{H}_2$ 反応の遷移状態での
エネルギー分割

エネルギー kcal mol^{-1}	分子変形	
	あり	なし
E_Q	-9.0	-9.2
E_X	18.9	25.9
E_P	-0.6	-0.6
E_D	-7.5	-6.9
E_{MIX}	0.1	0.4
E_{INT}	1.9	9.6
E_{DEF}	4.3	0.0
E	6.2	9.6

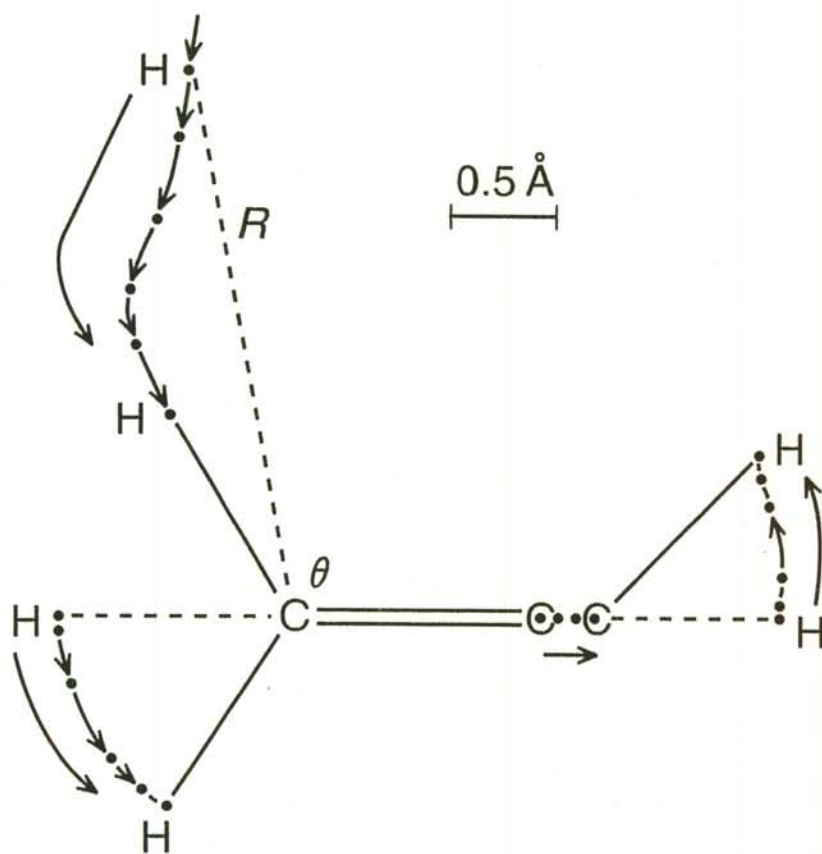
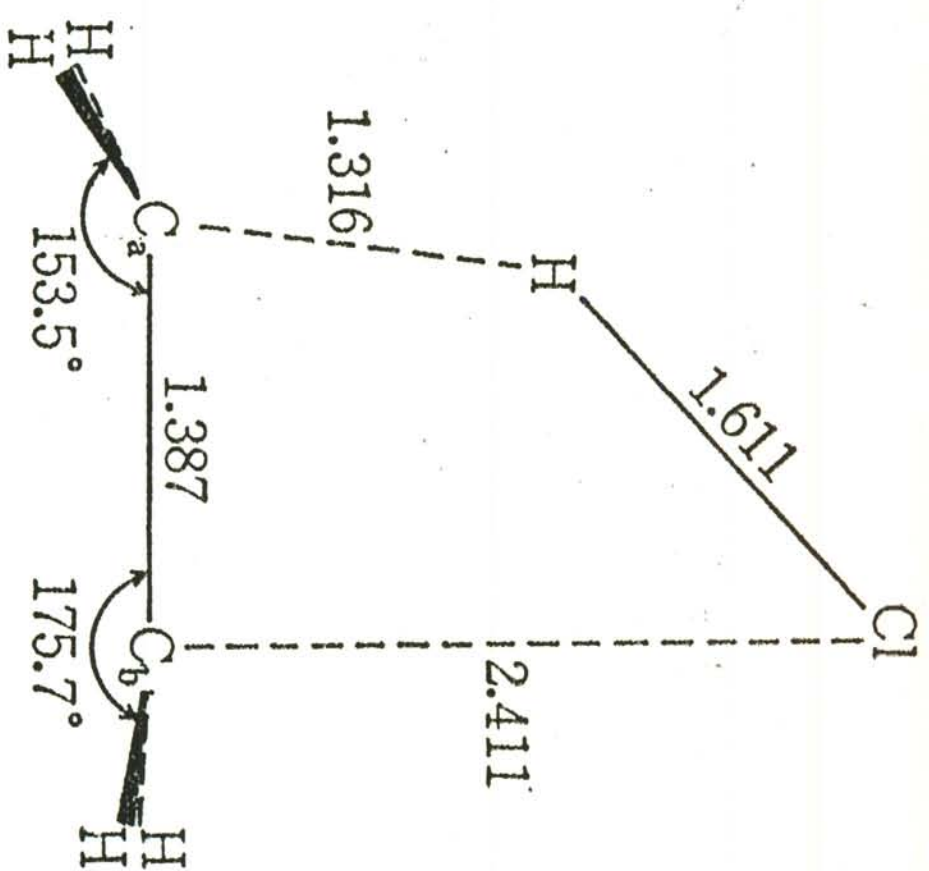


図 3.25 水素原子のアセチレンへの付加反応の経路. 点線は反応初期の構造を, 矢印は核の動きを示す.

表 4.3 $\text{CH}_2=\text{CH}_2$ への HCl 付加反応の遷移状態における
エネルギー成分(kJ mol⁻¹)

	変形	無変形*
ES	-364	-251
EX	761	799
PL	-109	-88
CT	-318	-268
MIX	109	96
INT	84	289
DEF	121	0
BE	201	289



遷移状態
(距離 Å)

* HCl の中点と CC の中点間
の距離と HCl の傾角を遷移状態
と同じにしながら、孤立分子の
構造を使つたもの。

表4.4 $\text{CH}_2=\text{CH}_2 + \text{HCl}$ 遷移状態における bond population の
孤立分子からの変化とその成分

	切断する結合		新しい結合	
	C_a-C_b	$\text{H}-\text{Cl}$	C_a-H	C_b-Cl
孤立分子	0.60	0.26	0	0
全変化	-0.12	-0.18	0.20	0.01
DEF	-0.03	-0.04	0	0
EX	0.04	0.04	-0.15	-0.07
PL	-0.01	0.00	0	0
CT+MIX	-0.12	-0.18	0.35	0.09

表 4.7 $\text{CH}_4 + \text{H}^-$ および $\text{CH}_3\text{F} + \text{F}^-$ の $\text{S}_{\text{N}}2$ 反応遷移状態におけるエネルギー成分 (kJ mol⁻¹) の比較

	$\text{H}-\text{CH}_3 + \text{H}^-$	$\text{F}-\text{CH}_3 + \text{F}^-$
ES	-188	-276
EX	331	268
PL	-67	-42
CT	-134	-130
MIX	-38	54
INT	-100	-234
DEF	301	172
BE	205	-63

表 4.9 反応中間体、遷移状態と水素結合錯体、電荷移動錯体との各エネルギー成分の安定化への相対寄与

相互作用系	中間体(I)または 遷移状態(T)	相対寄与* (%)		
		ES	PL	CT
付加反応				
$\text{CH}_2=\text{CH}_2 + \text{CH}_3^+$	I	37	23	40
$\text{CH}_2=\text{CH}_2 + \text{Cl}^+$	I	31	40	29
$\text{CH}_2=\text{CH}_2 + \text{HCl}$	T	46	13	41
$\text{CH}_2=\text{CH}_2 + \text{H}$	I	27	9	64
$\text{CH}_2=\text{CHF} + \text{H}$	I	27	9	64
引抜き反応				
$\text{CH}_4 + \text{H}$	T	13	6	81
$\text{CH}_4 + \text{Cl}$	T	29	39	32
$\text{H}_2 + {}^3\text{CH}_2$	T	33	13	54
置換反応				
$\text{CH}_4 + \text{H}^-$	T	48	17	35
$\text{CH}_3\text{F} + \text{F}^-$	T	62	9	29
水素結合				
$\text{H}_2\text{O}-\text{H}_2\text{O}$		78	4	18
$\text{H}_2\text{O}-\text{HF}$		80	7	13
$\text{HF}-\text{HF}$		70	3	27
電荷移動錯体				
$\text{H}_3\text{N}-\text{BH}_3$		68	12	20
$\text{H}_3\text{N}-\text{ClF}$		71	7	22
$\text{OC}-\text{BH}_3$		32	32	36

* X 成分の安定化への相対寄与 = $X/(ES+PL+CT)$.

表 5・1 遷移状態および分子錯体における各エネルギー成分の
安定化への相対的寄与[†]

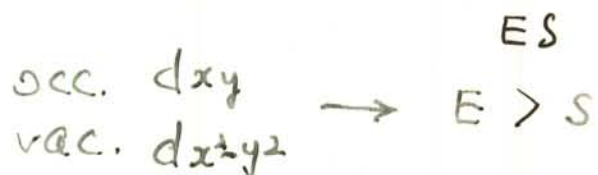
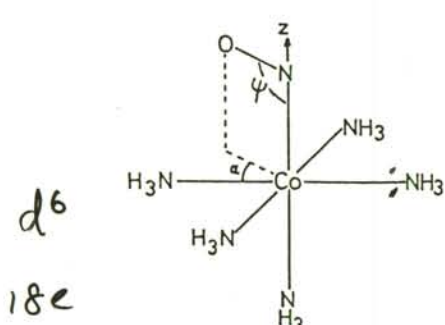
反応または錯体	% 寄与		
	ES	CT	PL
$\text{CH}_2=\text{CH}_2 + \text{HCl} \longrightarrow \text{CH}_3\text{CH}_2\text{Cl}$	46	41	13
$\text{CH}_4 + \text{H}\cdot \longrightarrow \cdot\text{CH}_3 + \text{H}_2$	13	81	6
$\text{CH}_4 + \text{Cl}\cdot \longrightarrow \cdot\text{CH}_3 + \text{HCl}$	29	32	39
$\cdot\text{CH}_2 + \text{H}_2 \longrightarrow \cdot\text{CH}_3 + \text{H}\cdot$	33	54	13
$\text{CH}_4 + \text{H}^- \longrightarrow \text{H}^- + \text{CH}_4$	48	35	17
$\text{CH}_3\text{F} + \text{F}^- \longrightarrow \text{F}^- + \text{CH}_3\text{F}$	62	29	9
水素結合錯体 $\text{H}_2\text{O}-\text{HF}$	80	13	7
配位化合物 $\text{H}_3\text{N}-\text{BH}_3$	68	20	12

† S. Nagase, K. Morokuma, *J. Am. Chem. Soc.*, 100, 1666 (1978) による。

Table 7. Energy decomposition for the interaction
 $\text{Co}(\text{NH}_3)_5^{3+} + \text{NO}^- \rightarrow \text{Co}(\text{NH}_3)_5\text{NO}^{2+}$

Geometry ψ , deg	E/ S ^a	Interaction energy, kcal/mol					
		INT	ES	EX	PL	CT	MIX
<u>Full Calculation</u>							
180		-366.5	-367.9	+80.9	-126.9	-26.9	+74.1
119	E	-408.9	-435.6	+130.9	-67.6	-42.1	+5.5
119	S	-402.9	-416.7	+118.2	-75.8	-36.9	+8.3
↑ Fractional Charge Calculation							
180		-463.6	-421.3	+58.1	-166.6	-57.1	+123.3
150	E	-533.1	-447.5	+67.5	-129.1	-71.0	+47.1
150	S	-530.8	-447.5	+68.0	-144.4	-70.0	+47.6
119	E	-547.7	-493.5	+109.3	-81.7	-106.2	+24.4
119	S	-546.4	-472.1	+98.4	-101.2	-72.3	+0.8

^aE and S denote eclipsed ($\alpha = 0^\circ$) and staggered ($\alpha = 45^\circ$) conformers, respectively.



CT

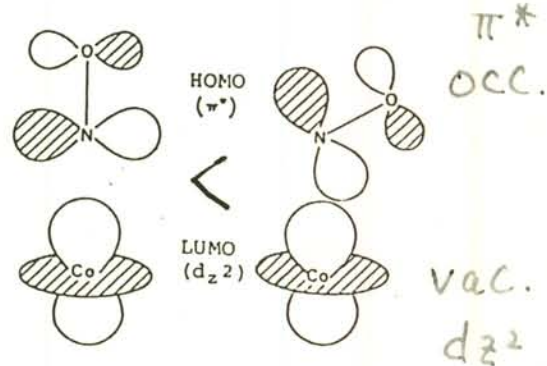
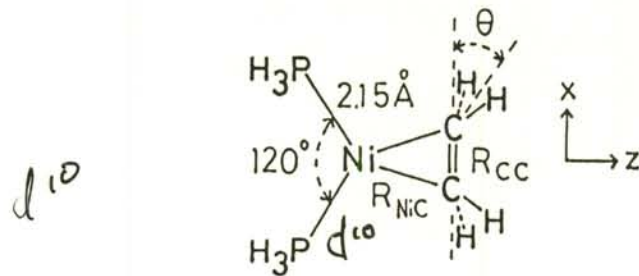
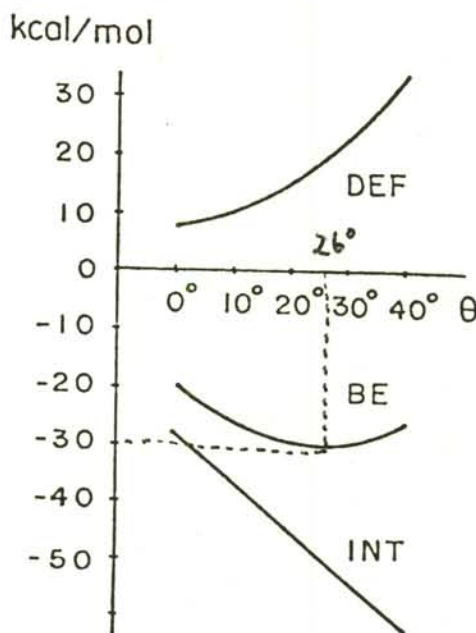


Figure 6. Structure of $\text{Co}(\text{NH}_3)_5\text{NO}^{2+}$.

Figure 7. Highest occupied MO and lowest unoccupied MO in $\text{Co}(\text{NH}_3)_5\text{NO}^{2+}$.

Figure 9. Structure of $\text{Ni}(\text{PH}_3)_2\text{C}_2\text{H}_4$.Figure 10. The angular dependency of BE, INT, and DEF in $\text{Ni}(\text{PH}_3)_2(\text{C}_2\text{H}_4)$.Table 8. Calculated binding energies and components^a

	$\text{Ni}(\text{PH}_3)_2(\text{C}_2\text{H}_4)$		$\text{Ni}(\text{NH}_3)_2(\text{C}_2\text{H}_4)$	$\text{Ni}(\text{PH}_3)_2(\text{C}_2\text{H}_2)$
BE	-30	> (-19)	< -64	-37
DEF	15	> (9)	29	40
INT	-45	(-28)	93	-77
ES	-132	> (-120)	-141	-148
EX	168	P _{W,S} (157)	179	189
FCTPLX	-16	(-13)	-21	-24
BCTPLX	-54	> (-44)	< -84	-75
R	-11	π* (-20)	dxz -26	-19

^aEnergy in kcal/mol. In the parentheses are given the energies at $\theta = 0^\circ$.

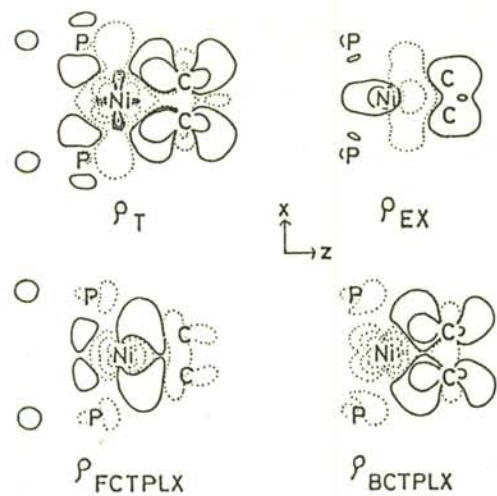


Figure 11. Electron density map for $Ni(PH_3)_2(C_2H_4)$.

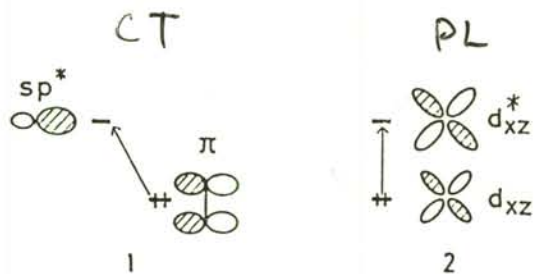


Figure 12. Orbital interactions $\frac{1}{\lambda}$ and $\frac{2}{\lambda}$ in $Ni(PH_3)_2C_2H_4$.

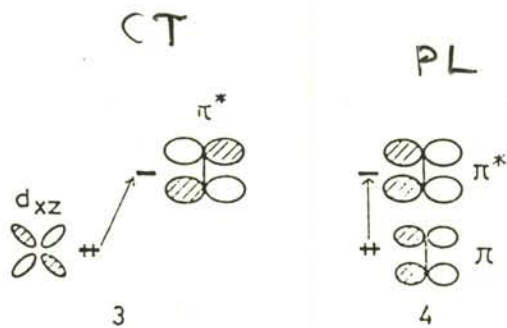


Figure 13. Orbital interactions $\frac{3}{\lambda}$ and $\frac{4}{\lambda}$ in $Ni(PH_3)_2C_2H_4$.

$$\rho_T = \rho_{EX} + \rho_{FCTPLX} + \rho_{BCTPLX} + \rho_R$$

Table V. Energy Decomposition Analysis of the Energy Difference between the Transition State and the Reactants for Oxidative Addition of H₂ to RhCl(PH₃)₂ and Pt(PH₃)₂ (kcal/mol)

	Rh	Pt ^c
H ₂ complex	TS	assumed TS ^a
deformation		
metal fragment ^b	-0.7 (0.1)	-0.5 (0.2)
H ₂	5.9	23.6
sum	5.2	23.1
interaction		
ES + EX	43.0	69.7
BCTPLX	-24.3	-42.6
FCTPLX	-44.0	-68.8
residue	0.0	-0.9
sum	-25.3	-42.6
total	-20.1	-19.5
		-11.2
		5.2

^aThe Rh-H distance of 2.07 Å and the H-H bond length of 0.77 Å are taken from the transition state for the Pt system, but all the other geometrical parameters are those of the true TS. ^bRelative to the C_s structure of RhCl(PH₃)₂ (**1**). Numbers in parentheses are relative to the true C_{2v} minimum energy structure. ^cReference 12b.

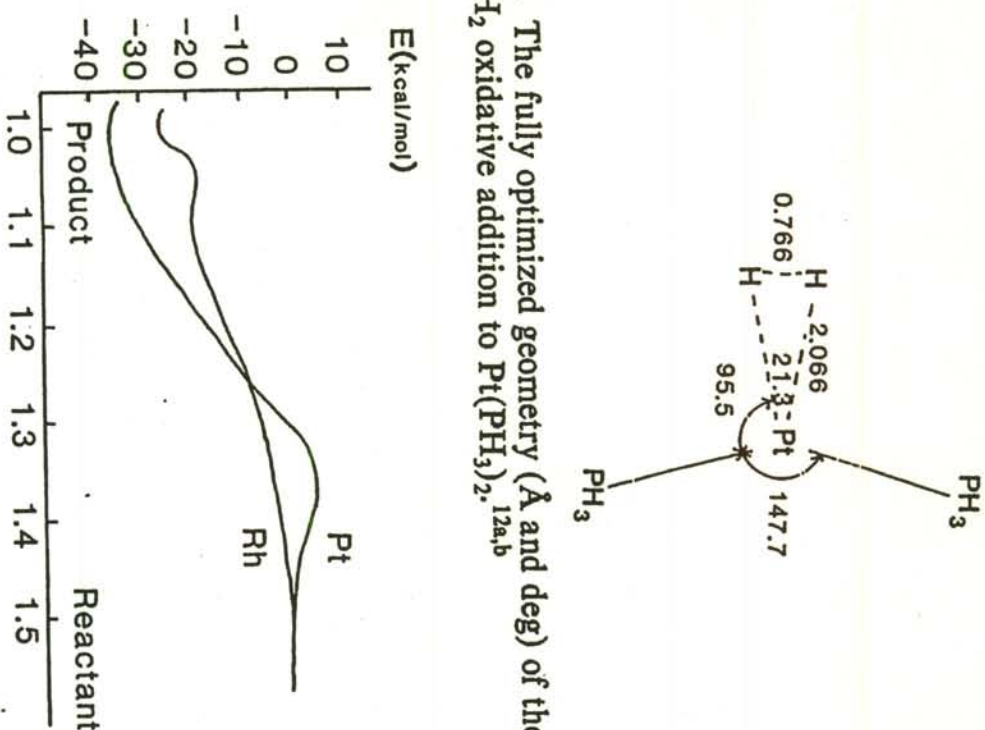


Figure 15. The fully optimized geometry (Å and deg) of the transition state for H₂ oxidative addition to Pt(PH₃)₂. ^{12a,b}

R(M-H)/R(M-H)_{product}

Figure 16. Schematic potential energy curves for H₂ oxidative addition to RhCl(PH₃)₂ and Pt(PH₃)₂.